

Magdalena ŁASECKA\*  
Politechnika Poznańska

## ANALIZA UKŁADÓW PRĘTOWYCH Z NIEJEDNORODNYMI WARUNKAMI BRZEGOWYMI METODĄ FUNKCJI WŁASNYCH

**Streszczenie.** W pracy przedstawiono możliwość zastosowania metody funkcji własnych do analizy jednowymiarowych układów prętowych o strukturze dyskretnej z niejednorodnymi warunkami brzegowymi. Koncepcję omówiono na przykładzie zginania belki Eulera-Bernoulliego, której węzły brzegowe oparte są na sprężystych podporach o niezerowych przemieszczeniach, a obciążenie stanowi dowolny ciąg węzłowych sił skupionych. Do obliczeń przyjęto dyskretny podział belki na dwuwęzłowe elementy skończone. Warunki równowagi zapisano w postaci równań różnicowych, których rozwiązania otrzymano w postaci analitycznej.

## ANALYSIS OF BEAM SYSTEMS WITH NON-HOMOGENEOUS BOUNDARY CONDITIONS USING EIGENFUNCTION METHOD

**Summary.** A possibility of application of eigenfunction method for beam systems with discrete structure with non-homogeneous boundary conditions is presented. A conception is given for example of bending of Euler-Bernoulli beam. Its boundary nodes are elastically supported and have non-zero displacements. The beam is loaded by an arbitrary set of nodal forces. The discretisation of the beam into two-node finite elements is adopted. The equilibrium conditions are expressed in the form of difference equations. These equations are solved analytically.

### 1. Wstęp

Szybki rozwój metod numerycznych w obliczeniach konstrukcji inżynierskich, a szczególnie metody elementów skończonych, spowodował zaniechanie poszukiwań rozwiązań analitycznych. Okazało się jednak, że również w przypadku układów modelowanych strukturami dyskretnymi uzyskanie takich rozwiązań w postaci zamkniętej jest możliwe dzięki zastosowaniu metody równań różnicowych. Teorię równań różnicowych

---

\* Opiekun naukowy: Prof. dr hab. inż. Jerzy Rakowski

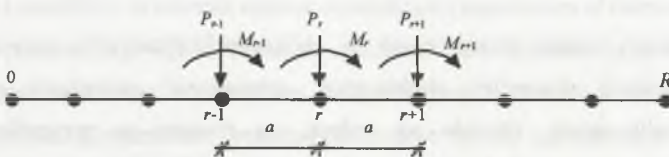
oraz jej aplikację do analizy zagadnień statyki i dynamiki regularnych konstrukcji prętowych rozwinął w Polsce Gutkowski [1]. Tematykę tę podjął Świtka [3,4] i Rakowski [3], stosując do rozwiązań wybranych problemów teorii konstrukcji metodę funkcji własnych. Rakowski wykazał m.in. w pracy [2], że w przypadku regularnej dyskretyzacji układu, aproksymowanego zbiorem identycznych elementów skończonych, możliwe jest wyznaczenie warunków równowagi w postaci równań rekurencyjnych, ekwiwalentnych w stosunku do układu równań algebraicznych, otrzymanych w postaci macierzowej dzięki zastosowaniu metodologii MES. Takie sformułowanie, które prowadzi w wielu zadaniach do określenia jednego równania różnicowego niezależnie od liczby stopni swobody dyskretyzowanej konstrukcji, pozwala na prostą analizę parametryczną rozwiązań. Okazało się ono również silnym narzędziem m.in. do oceny i krytycznej analizy stosowanych elementów skończonych i identyfikacji pasożytniczych zjawisk pojawiających się w obliczeniach numerycznych, jak na przykład zjawiska blokady ścinania poprzecznego (shear locking).

We wszystkich cytowanych w artykule pracach oraz w innych pozycjach wymienionych w bibliografii rozwiązania analityczne równań różnicowych wyznaczano dla wybranych konstrukcji prętowych o jednorodnych warunkach brzegowych.

W niniejszej pracy na wybranym przykładzie belki Eulera-Bernoulliego (E-B) przedstawiono koncepcję zastosowania metody funkcji własnych, dla przypadku gdy warunki podparcia określone są uogólnionymi przemieszczeniami o niezerowych wartościach.

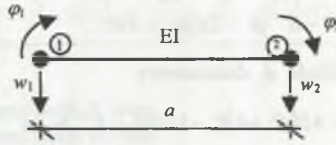
## 2. Równania równowagi dla jednowymiarowego pręta zginanego

Belkę o skończonej długości aproksymowaną identycznymi elementami skończonymi i obciążoną dowolnym ciągiem węzłowych sił skupionych  $P_r$  i momentów skupionych  $M_r$ , przedstawia rys. 1.



Rys. 1. Belka o regularnym podziale obciążona siłami i momentami węzłowymi  
Fig. 1. Regularly discretized beam loaded by nodal forces and moments

Do rozwiązań przyjęto podział belki na dwuwęzłowe elementy skończone o czterech stopniach swobody i sztywności na zginanie EI.



Rys. 2. Dwuwęzłowy element skończony belkowy E-B  
 Fig. 2. Two-node E-B beam finite element

Macierz sztywności tego elementu wyprowadzona dla ścisłych funkcji kształtu ma postać:

$$K = \frac{EI}{a^3} \begin{bmatrix} 12 & 6 & -12 & 6 \\ 6 & 4 & -6 & 2 \\ -12 & -6 & 12 & -6 \\ -6 & 2 & -6 & 4 \end{bmatrix} \quad (1)$$

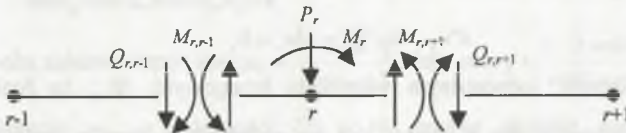
i wiąże wektory uogólnionych przemieszczeń i sił węzłowych:

$$K \cdot q = f, \quad (2)$$

gdzie:  $q^T = \{w_1 \ \phi_1 \ w_2 \ \phi_2\}$ ,  $f^T = \{P_1 \ m_1 \ P_2 \ m_2\}$ ,

$\phi_i = a\phi_i$ ,  $m_i = M_i/a$ , dla  $i=1,2$ .

Korzystając z macierzy (1), równania równowagi dla dowolnego węzła  $r$  można przedstawić w następującej postaci (rys. 3):



Rys. 3. Równowaga węzła r  
 Fig. 3. Equilibrium of r-th node

$$\begin{aligned} 6(w_{r-1} - w_r) + 2(\phi_{r-1} + 2\phi_r) + 6(w_r - w_{r+1}) + 2(2\phi_r + \phi_{r+1}) &= 24Bm_r \\ -12(w_{r-1} - w_r) - 6(\phi_{r-1} + \phi_r) + 12(w_r - w_{r+1}) + 6(\phi_r + \phi_{r+1}) &= 24BP_r \end{aligned} \quad (3)$$

gdzie:

$$B = \frac{a^3}{24EI}$$

Wprowadzając do równań (3) operatory przesunięcia Boole'a  $E_r^n$  i różnic centralnych  $\Delta_r^n$  [1] otrzymamy:

$$\begin{aligned} (\Delta^2 + 6)\phi_r - 3(E - E^{-1})w_r &= 12Bm, \\ (E - E^{-1})\phi_r - 2\Delta^2 w_r &= 4BP_r. \end{aligned} \quad (4)$$

Eliminując z równań (4) wielkość  $\phi_r$  dostaniemy

$$\Delta^4 w_r = 4B(\Delta^2 + 6)P_r - 12B(E - E^{-1})m_r, \quad (5)$$

gdzie:

$$\Delta^2 = \Delta_r^2 = E^1 + E^{-1} - 2, \quad E^n = E_r^n.$$

$$\Delta^4 = E^2 - 4E + 6 - 4E^{-1} + E^{-2}.$$

Zajmiemy się przypadkiem, gdy obciążenie belki o końcach  $r=0$  i  $r=R$  stanowią jedynie siły skupione  $P_r$ , o dowolnym rozkładzie (w równaniu (5) należy przyjąć  $m_r = 0$ ).

Rozwiązaniem równania niejednorodnego

$$\Delta^4 w_r = 4B(\Delta^2 + 6)P_r, \quad (6)$$

jest funkcja o dyskretnym argumente  $r$  (funkcja dyskretna), opisująca przemieszczenia węzłów  $w_r$  i stowarzyszona z nią funkcja obrotów węzłów  $\phi_r$ , o postaciach [3]:

$$w_r = B \sum_{k=1}^{R-1} \frac{P_k}{\alpha_k^2} W_{r,k}, \quad \phi_r = B \sum_{k=1}^{R-1} \frac{P_k}{\alpha_k^2} \Phi_{r,k}, \quad (7)$$

gdzie  $P_k = \sum_{r=0}^R P_r W_{r,k}$ ,  $\alpha_k^2$  to wartości własne, a  $W_{r,k}$  to ortogonalne funkcje własne w przedziale  $\langle 0, R \rangle$  jednorodnego równania różnicowego

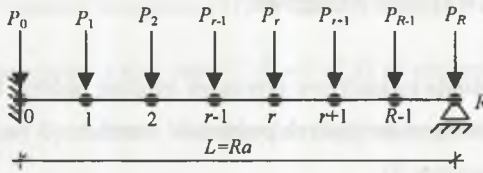
$$\Delta^4 w_r - 4\alpha^2(\Delta^2 + 6)w_r = 0, \quad (8)$$

odpowiadające danym, jednorodnym warunkom brzegowym.  $\Phi_{r,k}$  to funkcje obrotów węzłów, które wyznacza się z równań (4) po podstawieniu tam w miejsce  $w_r \rightarrow W_{r,k}$ ,  $\phi_r \rightarrow \Phi_{r,k}$ ,  $BP_r \rightarrow \alpha_k^2$  i przyjęciu  $m_r = 0$ .

Przytoczmy rozwiązanie dla belki o schemacie statycznym jak na rys. 4.

Dla warunków brzegowych:

$$\begin{aligned} r=0, & \quad w_0 = 0, & \quad \phi_0 = 0, \\ r=R, & \quad w_R = 0, & \quad M_{R,R+1} = \overline{M}_R = 0 \end{aligned} \quad (9)$$



Rys. 4. Schemat rozważanej belki ( $L=Ra$ )  
 Fig. 4. Layout of considered beam ( $L=Ra$ )

otrzymuje się [3]:

$$\alpha_k^2 = \frac{(1 - \cosh \mu_k)^2}{2(\cosh \mu_k + 2)} = \frac{(1 - \cos \nu_k)^2}{2(\cos \nu_k + 2)}$$

$$W_{r,k} = D \left[ (\cosh \mu_k R - \cos \nu_k R) \left( \frac{\sin \nu_k}{\cos \nu_k + 2} \sinh \mu_k r - \frac{\sinh \mu_k}{\cosh \mu_k + 2} \sin \nu_k r \right) \right] + \cosh \mu_k r - \cos \nu_k r$$

$$\Phi_{r,k} = 3D \left[ \frac{\sinh \mu_k \sin \nu_k}{(\cosh \mu_k + 2)(\cos \nu_k + 2)} (\cosh \mu_k R - \cos \nu_k R)(\cosh \mu_k r - \cos \nu_k r) \right] + 3 \left[ \frac{\sinh \mu_k}{\cosh \mu_k + 2} \sinh \mu_k r + \frac{\sin \nu_k}{\cos \nu_k + 2} \sin \nu_k r \right]$$

gdzie:  $D = \left( \frac{\sinh \mu_k \sin \nu_k R}{\cosh \mu_k + 2} - \frac{\sin \nu_k \sinh \mu_k}{\cos \nu_k + 2} \right)^{-1}$

$\mu_k$  i  $\nu_k$  to pierwiastki równania charakterystycznego:

$$(\cosh \mu_k - \cos \nu_k)(\cos \nu_k + 2) \sinh \mu_k \sin \nu_k R \cosh \mu_k R - (\cosh \mu_k + 2) \cdot \sin \nu_k \sinh \mu_k R \cos \nu_k R = 0$$

związane z sobą zależnościami:  $\cosh \mu_k = \frac{5 - 2 \cos \nu_k}{\cos \nu_k + 2}$  lub  $\cos \nu_k = \frac{5 - 2 \cosh \mu_k}{\cosh \mu_k + 2}$ .

Znając funkcje  $w_r$ , z zależności (2) i (4) można określić wzory na wartości przywęzłowych sił wewnętrznych [2]

$$M_{r,r-1} = M = \frac{EI}{a^2} \Delta^2 w_r - \frac{a}{6} P_r,$$

$$M_{r,r+1} = \bar{M} = -\frac{EI}{a^2} \Delta^2 w_r + \frac{a}{6} P_r,$$

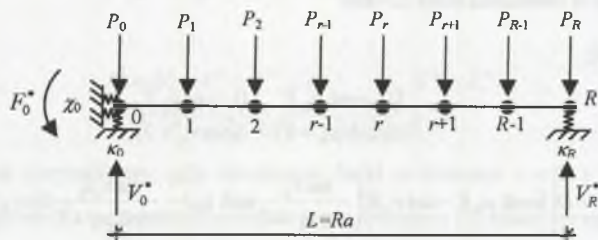
$$Q_{r,r-1} = Q = \frac{EI}{a^3} (E^{-1} - 1) \Delta^2 w_r - \frac{1}{6} (E^{-1} - 1) P_r,$$

$$Q_{r,r+1} = \bar{Q} = \frac{EI}{a^3} (E - 1) \Delta^2 w_r - \frac{1}{6} (E - 1) P_r.$$

(10)

### 3. Niejednorodne warunki brzegowe

W niniejszym rozdziale rozpatrzmy przypadek bardziej ogólny. Niech węzły brzegowe rozważanej belki oparte są na sprężystych podporach: węzeł  $r = 0$  na liniowej i kątowej, zaś węzeł  $r = R$  na liniowej (rys. 5).



Rys. 5. Schemat belki opartej na sprężystych podporach  
Fig. 5. Layout of elastically supported beam

Wartości  $\kappa$  – to sztywności sprężystych podpór liniowych ( $\kappa_0$  i  $\kappa_R$ ), a  $\chi_m$  – to sztywność kątowa sprężystego utwierdzenia ( $\chi_0$ ).

Odpowiednie przemieszczenia węzłów brzegowych są proporcjonalne do reakcji występujących w sprężystych podporach. Aby uwzględnić w rozwiązaniu zadania ten fakt, dokonamy analizy przypadku, w którym belka o schemacie przedstawionym na rys.4 (podpory niepodatne), bez zewnętrznego obciążenia ( $P_r = 0$ ) doznaje wymuszonych przemieszczeń węzłów brzegowych:

$$\begin{aligned} \text{-dla } r = 0 & \quad \bar{w}_0 = v_0, \quad \bar{\varphi}_0 = \theta_0, \quad (\Theta_0 = a\theta), \\ \text{-dla } r = R & \quad \bar{w}_R = v_R. \end{aligned} \quad (11)$$

W zadaniu pomocniczym musimy więc wyznaczyć funkcję przemieszczeń  $\bar{w}_r$ , spełniającą różnicowe równanie jednorodne (por.(5)):

$$\Delta^4 \bar{w}_r = 0. \quad (12)$$

Rozwiązanie ogólne równania (12) ma postać:

$$\bar{w}_r = C_0 + C_1 r + C_2 r^2 + C_3 r^3, \quad (13)$$

zaś kąty obrotów węzłów określa wzór, który wyznacza się z równań (4)

$$\bar{\varphi}_r = C_1 + 2C_2 r + 3C_3 r^2. \quad (14)$$

Uzupełniając trzy warunki brzegowe (11) o czwarty  $M_{R,R+1} = 0$ , czyli dla  $r = R$ ,  $\bar{M} = -\frac{EI}{a^2} \Delta^2 w_R = 0$ , wyznaczmy z nich stałe  $C_i$  ( $i = 0, 1, 2, 3$ ) po podstawieniu do nich relacji (13) i (14). Ostatecznie, wymuszenia kinematyczne dają następujące wzory na ugięcia i obroty węzłów:

$$\begin{aligned} \bar{w}_r &= v_0 + \Theta_0 r + \frac{3}{2R} \left( \frac{v_R - v_0}{R} - \Theta_0 \right) r^2 + \frac{1}{2R^2} \left( \Theta_0 - \frac{v_R - v_0}{R} \right) r^3 \\ \bar{\phi}_r &= \Theta_0 + \frac{3}{R} \left( \frac{v_R - v_0}{R} - \Theta_0 \right) r + \frac{3}{2R^2} \left( \Theta_0 - \frac{v_R - v_0}{R} \right) r^2 \end{aligned} \quad (15)$$

Wymuszone przemieszczenia podpór ( $v_0$ ,  $v_R$ ,  $\theta_0$ ) wywołują w nich reakcje. Dodatnie zwroty sił podporowych i momentu utwierdzenia zaznaczono na rys. 5. Wyznamy ich wartości. Na podstawie wzorów (10) ogólne postacie funkcji reakcji zapisuje się następująco:

$$\begin{aligned} \bar{V}_0 &= -Q_{0,1} = -\frac{EI}{a^3} (-\bar{w}_2 + 3\bar{w}_1 - 3\bar{w}_0 + \bar{w}_{-1}) \\ \bar{V}_R &= -Q_{R,R-1} = \frac{EI}{a^3} (\bar{w}_{R+1} - 3\bar{w}_R + 3\bar{w}_{R-1} - \bar{w}_{R-2}) \\ \bar{f}_0 &= \bar{F}_0/a = -M_{0,1}/a = \frac{EI}{a^3} (\bar{w}_1 - 2\bar{w}_0 + \bar{w}_{-1}) \end{aligned} \quad (16)$$

Po podstawieniu wzorów (15) do funkcji (16) otrzymamy ostatecznie wyrażenia na reakcje wywołane osiadaniami podpór:

$$\begin{aligned} \bar{V}_0 &= -\frac{1}{8BR^3} (v_0 - v_R + \Theta_0 R) \\ \bar{V}_R &= \frac{1}{8BR^3} (v_0 - v_R + \Theta_0 R) \\ \bar{f}_0 &= \bar{F}_0/a = -\frac{1}{8BR^2} (v_0 - v_R + \Theta_0 R) \end{aligned} \quad (17)$$

W przypadku przemieszczeń jednostkowych reakcje przedstawione wzorami (17) przyjmą następujące wartości:

- dla  $v_0 = 1$  ( $v_R = 0$ ,  $\Theta_0 = 0$ )

$$\bar{V}_{0,0} = -\frac{1}{8BR^3}, \bar{V}_{R,0} = \frac{1}{8BR^3}, \bar{f}_{0,0} = -\frac{1}{8BR^2}, \quad (18)$$

- dla  $v_R = 1$  ( $v_0 = 0$ ,  $\Theta_0 = 0$ )

$$\bar{V}_{0,R} = \frac{1}{8BR^3}, \bar{V}_{R,R} = -\frac{1}{8BR^3}, \bar{f}_{0,R} = \frac{1}{8BR^2},$$

– dla  $\Theta_0 = 1$  ( $v_0 = 0$ ,  $v_R = 0$ )

$$\bar{V}_{0,f} = -\frac{1}{8BR^2}, \quad \bar{V}_{R,f} = \frac{1}{8BR^2}, \quad \bar{f}_{0,f} = -\frac{1}{8BR}.$$

Reakcje wywołane działaniem obciążeń zewnętrznych na belkę o podporach nieprzesuwnych oblicza się zgodnie ze wzorami (19), które wyprowadzone zostały po wykorzystaniu relacji (7) i (10):

$$\begin{aligned} V_0^{(P)} &= -\frac{1}{24} \sum_{k=1}^{R-1} \frac{P_k}{\alpha_k^2} (E-1) \Delta^2 W_{0,k} + \frac{1}{6} (E+6) P_0 \\ V_R^{(P)} &= -\frac{1}{24} \sum_{k=1}^{R-1} \frac{P_k}{\alpha_k^2} (E^{-1}-1) \Delta^2 W_{R,k} + \frac{1}{6} (E^{-1}+6) P_R \\ f_0^{(P)} &= \frac{1}{24} \sum_{k=1}^{R-1} \frac{P_k}{\alpha_k^2} \Delta^2 W_{0,k} \end{aligned} \quad (19)$$

Po rozwiązaniu zadania pomocniczego i wyznaczeniu funkcji przemieszczeń (15) i reakcji (18) można określić wartości reakcji w analizowanej belce o podatnych podporach (rys. 5) stosując zasadę superpozycji skutków. Wielkości  $V_0^*$ ,  $V_R^*$  i  $F_0^*$  ( $F_0^* = f_0^* a$ ), będące skutkiem działania obciążenia  $P$ , oraz podatności podpór, spełniają układ równań:

$$\begin{aligned} V_0^* &= V_0^{(P)} + \bar{V}_{0,0} \frac{V_0^*}{\kappa_0} + \bar{V}_{0,R} \frac{V_R^*}{\kappa_R} + \bar{V}_{0,f} \frac{f_0^* a^2}{\chi_0} \\ V_R^* &= V_R^{(P)} + \bar{V}_{R,0} \frac{V_0^*}{\kappa_0} + \bar{V}_{R,R} \frac{V_R^*}{\kappa_R} + \bar{V}_{R,f} \frac{f_0^* a^2}{\chi_0} \\ f_0^* &= f_0^{(P)} + \bar{f}_{0,0} \frac{V_0^*}{\kappa_0} + \bar{f}_{0,R} \frac{V_R^*}{\kappa_R} + \bar{f}_{0,f} \frac{f_0^* a^2}{\chi_0} \end{aligned} \quad (20)$$

Wprowadźmy do obliczeń sztywności zastępcze (wielkości bezwymiarowe) i następujące oznaczenia skracające zapis:

$$K_0 = \frac{a^3 R^3 \kappa_0}{EI} = \frac{L^3 \kappa_0}{EI}, \quad K_R = \frac{a^3 R^3 \kappa_R}{EI} = \frac{L^3 \kappa_R}{EI}, \quad K_f = \frac{a R \chi_0}{EI} = \frac{L \chi_0}{EI}$$

Rozwiązaniem układu równań (20) są wartości reakcji:

$$\begin{aligned} V_0^* &= K \left[ K' V_0^{(P)} + 3K_0 K_R (V_0^{(P)} - f_0^{(P)}/R) + 3K_0 K_f (V_0^{(P)} + V_R^{(P)}) \right], \\ V_R^* &= K \left[ K' V_R^{(P)} + 3K_0 K_R (V_R^{(P)} + f_0^{(P)}/R) + 3K_R K_f (V_0^{(P)} + V_R^{(P)}) \right], \\ f_0^* &= K \left[ K' f_0^{(P)} + 3K_R K_f (f_0^{(P)} - R V_0^{(P)}) + 3K_0 K_f (f_0^{(P)} + R V_R^{(P)}) \right], \end{aligned} \quad (21)$$

gdzie:

$$K = \left[ K' + 3(K_0 K_R + K_R K_f + K_f K_0) \right]^{-1}, \quad K' = K_0 K_R K_f,$$



którym odpowiadają rzeczywiste, uogólnione przemieszczenia węzłów podporowych:

$$\begin{aligned} v_0 &= \frac{V_0^*}{\kappa_0} = 24BR^3K [K_R K_f V_0^{(P)} + 3K_R (V_R^{(P)} - f_0^{(P)}/R) + 3K_f (V_0^{(P)} + V_R^{(P)})], \\ v_R &= \frac{V_R^*}{\kappa_R} = 24BR^3K [K_0 K_f V_R^{(P)} + 3K_0 (V_0^{(P)} + f_0^{(P)}/R) + 3K_f (V_0^{(P)} + V_R^{(P)})], \\ \Theta_0 &= \frac{f_0^* a}{\chi_0} = 24BRK [K_0 K_R f_0^{(P)} + 3K_0 (f_0^{(P)} + R V_R^{(P)}) + 3K_R (f_0^{(P)} - R V_0^{(P)})]. \end{aligned} \quad (22)$$

Przemieszczenia węzłów belki stanowią sumę przemieszczeń obliczonych dla belki o niepodatnych podporach i przemieszczeń wywołanych osiadaniem węzłów podporowych określonych wzorami (22). Biorąc pod uwagę zależności (7) oraz wzory (15), do których należy podstawić  $v_0$ ,  $v_R$  i  $\Theta_0$  zgodnie z (22), po żmudnych przekształceniach otrzymamy ostateczną postać wzoru na ugięcia węzłów belki o podatnych podporach:

$$\begin{aligned} w_r &= B \sum_{k=1}^{n-1} \frac{\tilde{P}_k}{\alpha_k^2} \left\{ W_{r,k} + \Omega_1 (1-E) \Delta^2 W_{0,k} + \Omega_2 (1-E^{-1}) \Delta^2 W_{R,k} + \frac{1}{R} \Omega_3 \Delta^2 W_{0,k} \right\} + \\ &+ 4B [\Omega_1 (E+6) P_0 + \Omega_2 (E^{-1}+6) P_R], \end{aligned} \quad (23)$$

gdzie:

$$\begin{aligned} \Omega_1 &= \frac{K}{2} [K_R K_f \omega_1 \omega_2 - 6K_R R^2 \omega_1 + 6K_f R^3], \\ \Omega_2 &= \frac{K}{2} [K_0 K_f (2R^3 - \omega_1 \omega_2) + 6K_0 r R^2 + 6K_f R^3], \\ \Omega_3 &= \frac{K}{2} [K_0 K_R \omega_1 (\omega_2 + 2R^2) + 6K_0 r R^2 + 6K_R R^2 \omega_1], \\ \omega_1 &= \omega_1(r) = r - R, \quad \omega_2 = \omega_2(r) = r^2 - 2Rr - 2R^2, \end{aligned}$$

Wartości kątów obrotów węzłów można określić ze wzoru (por. [2]):

$$\phi_r = \frac{1}{12} [(E - E^{-1}) (6 - \Delta^2) w_r + 4B (E - E^{-1}) P_r]. \quad (24)$$

#### 4. Wnioski

Znajomość rozwiązania zadania brzegowego dla belki aproksymowanej układem dyskretnym (zgodnie z metodologią MES) z jednorodnymi warunkami brzegowymi pozwala uogólnić obliczenia na przypadek, gdy węzły brzegowe podparte są na podporach podatnych. W rezultacie otrzymuje się proste wzory analityczne o budowie zamkniętej, pozwalające na

wyznaczenie dyskretnej funkcji przemieszczeń i obrotów węzłów belki aproksymowanej elementami skończonymi. Uzyskane rozwiązanie ma charakter bardzo ogólny. Dokonując w obliczeniach przejść granicznych (np.  $\kappa_0 \rightarrow \infty$  i  $\kappa_R \rightarrow \infty$  lub  $\chi_0 \rightarrow \infty$ ), otrzymuje się wzory dla belek o częściowo lub całkowicie niepodatnych podporach.

Rozwiązania można rozszerzyć na przypadki innych obciążeń (węzłowe momenty skupione) oraz aproksymacji układów jednowymiarowych innymi typami elementów skończonych przy zachowaniu oczywiście regularności podziału [2].

## LITERATURA

1. Gutkowski W.: Regularne konstrukcje prętowe, PWN, Warszawa 1973.
2. Rakowski J.: A critical analysis of quadratic beam finite elements, *International Journal for Numerical Methods in Engineering*, **31**, 1991, 949-966.
3. Rakowski J., Świtka R.: O pewnych uogólnieniach metody funkcji własnych w zastosowaniu do dyskretnej układów sprężystych, Wydawnictwo Politechniki Poznańskiej, Poznań 1980.
4. Świtka R.: Drgania i funkcje własne regularnych układów dyskretnej, *Prace Pozn. Tow. Przyj. Nauk*, t.II, z.2, Warszawa-Poznań 1973.

Recenzent: Dr hab. inż. Jerzy Skrzypczyk, prof. Politechniki Śląskiej

## Abstract

A possibility of application of eigenfunction method for beam systems with discrete structure with non-homogeneous boundary conditions is presented. A conception is given for example of bending of Euler-Bernoulli beam. Its boundary nodes are elastically supported and have non-zero displacements. The beam is loaded by an arbitrary set of nodal forces. The discretisation of the beam into two-node finite elements is adopted. The equilibrium conditions are expressed in the form of difference equations. These equations are solved analytically.